

ივ. ჯავახიშვილის სახელობის თბილისის სახელმწიფო უნივერსიტეტი
ზუსტ და საბუნებისმეტყველო მეცნიერებათა ფაკულტეტი

სერგო ლომინეიშვილი

მაგნიტოჰიდროდინამიკური არამდგრადობების კვლევა
დიფერენციალურად მბრუნავ ცილინდრულ ასტროფიზიკურ
პლაზმაში

ფუნდამენტური და გამოყენებითი ფიზიკა,
მოდული ასტროფიზიკა და პლაზმის ფიზიკა

სამაგისტრო ნაშორმი შესრულებულია ფიზიკის მაგისტრის აკადემიური
ხარისხის მოსაპოვებლად

სამაგისტრო ნაშომის ხელმძღვანელი:
ალექსანდრე თევზაძე
ფილ. დოქტორი,
თსუ ასოცირებული პროფესორი

თბილისი, 2010

ანოტაცია

ნაშრომში განხილულია მბრუნავი ცილინდრული პლაზმის ლოკალური მაგნიტოჰიდროდინამიკური მდგრადობა რადიალურად სტრატეფიცირებულ დიფერენციალურად მბრუნავ ასტროფიზიკურ დისკებში. წრფივი სპექტრალური ანალიზით შესწავლილია ღერძულად სიმეტრიული შეშფოთებების მაგნიტობრუნვითი არამდგრადობის მახასიათებლები აზიმუტალური მაგნიტური კონფიგურაციის შემთხვევაში. განხილულია წონასწორული კონფიგურაცია ხარისხობრივი რადიალური არაერთგვაროვნებით. ნაპოვნია წრფივ შეშფოთებათა რადიალური ნორმირების წესი, რომელიც საშუალებას იძლევა განვასხვაოთ სტრატეფიკაციისა და მაგნიტობრუნვითი არამდგრადობით გამოწვეული ეფექტები სისტემის სპექტრალურ ამონახსნში. ნაპოვნია მაგნიტობრუნვითი არამდგრადობის მოდიფიკაცია სტრატეფიკაციის გამო. ნაჩვენებია არამდგრადობის შერეული ე.წ. ტალღური ხასიათი. აღმოჩნდა რომ არამდგრადობა ძლიერდება სუსტი და საშუალო სიმძლავრის სტრატეფიკაციის დისკებში და სუსტდება ძლიერი სტრატეფიკაციის შემთხვევაში.

Investigation of magnetohydrodynamic instabilities in differentially rotating cylindrical
astrophysical plasmas

Sergo Lomineishvili

შინაარსი

შესავალი	4
I. ფიზიკური მოდელი	10
II. წრფივი შემფოთებები	14
III. შემფოთებათა ნორმირების კანონი	24
IV. მდგრადობის ანალიზი	28
V. დასკვნა	36
ლიტერატურა	42

შესავალი

მზრუნავი ასტროფიზიკური დინებები წარმოადგენენ ფართოდ გავრცელებულ ობიექტებს სამყაროში. მათ რიცხვს მიეკუთვნებიან ისეთი ობიექტები როგორცაა გალაქტიკური დისკები, პროტოპლანეტური და აკრეციული დისკები. დისკური ობიექტების დინამიკისა და ევოლუციის შესწავლა თანამედროვე ასტროფიზიკის ერთ-ერთი მნიშვნელოვანი დარგია. ამ ტიპის ობიექტებიდან ერთ-ერთი გამორჩეული მაგალითია აკრეციული დისკები.

აკრეციული დისკების ფიზიკამ მნიშვნელობა შეიძინა რენტგენული ასტრონომიის განვითარების შედეგად. აღმოჩნდა, რომ არსებობენ ურიცხვი ობიექტები, რომელთა გამოსხივების სიმძლავრის მნიშვნელოვანი ნაწილი რენტგენულ დიაპაზონში მოდის. ეს თავის მხრივ მიგვითითებს ექსტრემალურ ტემპერატურებამდე გაცხელებულ ობიექტსა და ზემძლავრი გამოსხივების წყაროებზე. თანამედროვე წარმოდგენებით აკრეციული დისკები სხვა მსგავსი დისკური ობიექტებისაგან განსხვავდებიან მაღალენერგეტიკული, ხშირად რენტგენული გამოსხივებით.. ზოგიერთ შემთხვევაში ენერგეტიკული შეფასებები მიუთითებენ იმ ფაქტზე რომ გამოსხივების სიმძლავრე აღემატება სტანდარტული თერმობირთვული რექაციებით შესაძლო გამოყოფილ ენერჯის სიმძლავრეს. ეს ფაქტი მიუთითებს რომ მაღალენერგეტიკული აკრეციული დისკების ნათება იკვებება გრავიტაციული ენერჯით: მატერიის ვარდნისას ძლიერი გრავიტაციის ცენტრისაკენ გამოიყოფა მისი გრავიტაციული ენერჯია, რომელმაც უხეში შეფასებებით შავ ხვრელზე აკრეციის შემთხვევაში შეიძლება შეადგინოს მატერიის უძრაობის ენერჯის 10%. ამ უზარმაზარი ენერჯის გამოსაყოფად საჭიროა აკრეციის პროცესის მიმდინარეობა, ანუ საჭიროა მასის მუდმივი ვარდნა ცენტრალურ ობიექტზე.

დღევანდელი წარმოდგენებით აკრეციის პროცესის კვლევა შესაძლებელია უწყვეტი გარემოს ფიზიკის მეთოდების საშუალებით. მართლაც, მატერიისა და გაზის სიმკვრივე

უზუნველყოფს ობიექტის თერმოდინამიკურ წნევასა და ცხადყოფს კოლექტიური მოვლენების შესწავლის აუცილებლობას. კლასიკური ჰიდროდინამიკიდან ცნობილია რომ გრავიტირებადი ობიექტის ირგვლივ მბრუნავი გაზის განაწილება იღებს ე.წ. კეპლერული ბრუნვის ფორმას, როდესაც ბრუნვის კუთხური სიჩქარე იცვლება რადიუსის მიხედვით $\Omega(r) \sim r^{-3/2}$. ბრუნვის ეს დიფერენციალური ხასიათი იწვევს მეზობელ ფენებს შორის ხახუნს და დისიპაციას სიბლანტის გამო. ეს პროცესი განაპირობებს ბრუნვის მომენტის გადატანას რადიალურად გარეთ, ხოლო მატერიის გადაადგილებას ცენტრისაკენ, ანუ აკრეციას.

აკრეციის ტემპი განსაზღვრავს გამოყოფილი ენერგიის რაოდენობას დროის ერთეულში და მაშასადამე ობიექტის გამოსხივების სიმძლავრეს. კინემატიკური სიბლანტის შემთხვევაში გამოსხივების სიმძლავრე უნდა განისაზღვრებოდეს რეინოლდსის რიცხვის შებრუნებული სიდიდით: $Re = UL/v$, სადაც U დინების მახასიათებელი სიჩქარეა, L – მახასიათებელი ზომა, ხოლო v – კინემატიკური სიბლანტე. სხვადასხვა შეფასებებით ცნობილია რომ აკრეციულ დისკებში რეინოლდსის რიცხვი ასტრონომიულად დიდი სიდიდეა $Re \gg 10^{10}$, რაც ერთის შეხედვით უნდა განაპირობებდეს აკრეციის ძალიან დაბალ ტემპს. ასეთი სუსტი აკრეცია ვერ უზრუნველყოფს დაკვირვებადი ზემძლავრი გამოსხივების ენერგიის წყაროს. ამ მხრივ საჭირო გახდა ალტერნატიული დინამიური მოდელის ჩამოყალიბება.

აკრეციის პროცესის თანამედროვე წარმოდგენა ეფუძვნება შაკურა სიუნიაევის მოდელს, რომელშიც აკრეციის გამომწვევი ძირითადი მიზეზია ტურბულენტობა (Shakura & Sunyaev 1973). ამ მოდელის მიხედვით აკრეციულ დისკში არსებული ტურბულენტობა იწვევს ანომალურად მაღალ სიბლანტეს და მატერიის ცენტრისაკენ გადატანის მაღალ ტემპს. ამ მხრივ მოდელი ეფუძვნება მოსაზრებას რომ აკრეციულ დისკებში უნდა არსებობდეს რაიმე სახის მძლავრი არამდგრადობა რომელიც გამოიწვევს დინების ქაოტიზაციას და ძლიერ განვითარებულ ტურბულენტობას. ამ თვისების გამო მოდელს აკრეციული დისკების ტურბულენტული მოდელი ეწოდა.

დიდი ხნის განმავლობაში უცნობი იყო ტურბულენტობის გამომწვევი მიზეზი როგორც დამაგნიტებულ ისე დაუმაგნიტებელ აკრეციულ დისკებში. აკრეციის მაგნიტოჰიდროდინამიკური აღწერის გარღვევად შეიძება ჩაითვალოს ბალბუს ჰოულის შრომა (Balbus & Hawley 1992), რომელშიც ნაჩვენებია მძლავრი სპექტრალური არამდგრადობის შესაძლებლობა სუსტად დამაგნიტებულ დიფერენციალურად მბრუნავ ასტროფიზიკურ დისკებში.

მართლაც, აკრეციული დისკების დაკვირვებული გამოსხივება მიგვითითებს იმ ფაქტზე, რომ მატერია უნდა იყოს მაღალ ტემპერატურაზე და ძლიერად იონიზირებული, რამაც თავის მხრივ უნდა განპირობოს დინების მაგნიტურ ველთან ურთიეთქმედების მნიშვნელობა. ამ არამდგრადობას დღეისათვის მაგნიტობრუნვითი არამდგრადობის სახელით მოიხსენიებენ. ამ ტიპის არამდგრადობა ცნობილი იყო კლასიკური პლაზმის ფიზიკიდან (Velikhov, 1959). აკრეციულ დისკებში მაგნიტობრუნვითი არამდგრადობის მნიშვნელობის გააზრებამ მნიშვნელოვანი ბიძგი შესძინა დირფერენციალურად მბრუნავი დამაგნიტებული გარემოს მდგრადობის შესწავლას.

ამ საწყისი შრომის შემდეგ (Balbus & Hawley 1992) დღევანდელ დღემდე მიმდინარეობს მაგნიტობრუნვითი არამდგრადობის აქტიური კვლევა როგორც რიცვითი ისე ანალიზური მეთოდებით. კვლევის მთავარი ამოცანაა გაირკვეს არამდგრადობის მახასიათებელი თვისებები შედარებით რეალური კონფიგურაციის დისკებში. კვლევებს თან ერთვის დაკვირვებების შედეგები, რომლებიც აზუსტებენ დისკის შესაძლო მოდელებსა და ადებენ შეძლუდებს აკრეციული დისკების თეორიულ მოდელებს.

ამ მხრივ საინტერესო განვითარება მოყვა აკრეციული დისკების რადიალური სტრატეფიკაციის ეფექტების შესწავლას. მაგნიტობრუნვითი არამდგრადობის საწყისი ანალიზი ჩატარებული იქნა გამარტივებული დისკის მოდელზე, სადაც დისკის თერმოდინამიკური მახასიათებლები არ იცვლებიან რადიუსის მიხედვით. დღევანდელი

დაკვირვებები კი საშუალებას გვაძლევს გავანალიზოთ არა მხოლოდ აკრეციული დისკის ინტეგრალური გამოსხივების სიმძლავრე, არამედ მისი გამოსხივების სპექტრი და რადიალური სტრუქტურა. ეს უკანასკნელი საშუალებას იძლევა აღვადგინოთ მატერიის განაწილების ზედაპირული სიმკვრივე და მოდელზე დამოკიდებული დანარჩენი ფიზიკური პარამეტრები. ამ მხრივ ახალი აქტუალობა შეიძინა რადიალურად სტრათიფიცირებული დამაგნიტებული თუ დაუმაგნიტებელი აკრეციული დისკების დინამიკის შესწავლამ.

ტურბულენტობის წყაროს ძიებისა და დინების ლამინარულიდან ქაოსურ მდგომარეობაში გადასვლის კლასიკური თეორიული მოდელია წრფივი არამდგრადობის არსებობა. ასეთი ტიპის არამდგრადობები ეფუძნება წრფივ მდგრადობის ანალიზს. ამ შემთხვევაში იგულისხმება რომ არსებობს გარკვეული ტიპის არამდგრადობა, რომელიც იწვევს უსასრულოდ მცირე ამპლიტუდის შემფოტებების ზრდას და დინების ქაოტიზაციას. კლასიკური მდგრადობის ანალიზისათვის საჭიროა შეუშფოთებელი ამონახსნის ცოდნა: სისტემის ანალიზური ამონახსნი, რომლის თვისებებიც განსაზვრავენ შესაძლო არამდგრადობის პარამეტრებს.

რადიალური სტრათიფიკაციის ზეგავლენის შესწავლა მაგნიტობრუნვით არამდგრადობაზე შეიძლება ინახოს სტატიაში Blokland et al. 2005:1, სადაც ავტორებმა წარმოადგინეს შეუშფოთებელი რადიალურად სტრათიფიცირებული დისკის მოდელი. ამ მოდელში სტრათიფიკაცია განისაზღვრება ხარისხობრივი ფუნქციით და ფაქტიურად დამოკიდებულია ერთ პარამეტრზე. მომდევნო შრომაში ავტორებმა გაანალიზეს სტრათიფიკაციის ეფექტი მაგნიტობრუნვით არამდგრადობაზე რიცხვითი მეთოდების საშალებით (Blokland et al. 2005:2). ავტორების მიერ შემუშავებული სპეტრალური რიცხვითი მეთოდი საშუალებას იძლევა დადგინდეს არამდგრადობის ზრდის მაქსიმალური ინკრიმენტი ყველა სხვა ფიქსირებული პარამეტრის შემთვევაში. ჩატარებული რიცხვითი თვლები ადასტურებს მაგნიტობრუნვითი არამდგრადობის

არსებობას სტრატეგიცირებულ დისკებში პრინციპიალურად, თუმცა რიცხვითი თვლის სპექციფიკიდან გამომდინარე ანალიზი ჩატარებულია პარამეტრთა მცირე რაოდენობისათვის.

რადიალურად არაერთგვაროვანი დაუმაგნიტებელი ასტროფიზიკური დინების მდგრადობის ანალიზური განხილვა მოცემულია სტატიაში Tevzadze et al. 2010, სადაც განხილულია დისკის რადიალური ხარისხობრივი არაერთგვაროვნება ჰიდროდინამიკურ მიახლოებაში. სტატიაში ნაჩვენებია წრფივი შეშფოთებების ნორმირების წესი, რომელიც საშუალებას იძლევა გაიყოს შეშფოთებათა სპექტრალური და ხარისხობრივი მახასიათებლები. სწორედ ეს იდეა გამოიყენება წარდგენილ სამაგისტრო ნაშრომში, სადაც შეშფოთებათა რადიალური ნორმირების კანონი გამოყენებულია უკვე დამაგნიტებული დიფერენციულად მბრუნავი დინების შემთხვევაში. მეთოდი ეფუძვნება ნორმირების თავისუფალი პარამეტრების შემოყვანას, რომლებიც დამოკიდებულია შეუშფოთებელი დისკის კონფიგურაციაზე და კონრეტული მნიშვნელობები დგინდება სისტემის დისპერსიული თანაფარდობიდან.

წარმოდგენილი ნაშრომის პირველ ქვეთავში განხილულია ამოცანის ფიზიკური მოდელი. მოცემულია მაგნიტოჰიდროდინამიკის განტოლებები და წონასწორული დისკის კონფიგურაცია. განხილულია რადიალური სტრატეგიკაციის ზოგადი კანონი შეუშფოთებელი დისკის მოდელისათვის. მეორე ქვეთავი ეძღვნება წრფივ შეშფოთებათა ანალიზს. აქ შემოყვანილია რადიალურად ნორმირებული შეშფოთებები და განხილულია სხვადასხვა ფიზიკური მიახლოებები სრული ფურიე გაშლისა და წრფივი დისპერსიული თანაფარდობის მისაღებად. მესამე ქვეთავში ჩატარებულია წრფი შეშფოთებათა მდგრადობის ანალიზი. აქ გამოთვლილია რადიალური ნორმირების თავისუფალი პარამეტრები, რომლებიც საშუალებას იძლევიან გამარტივდეს მდგრადობის ანალიზი. მდგრადობის ანალიზი ჩატარებულია მეოთხე თავში. აქ დადგენილია როგორც არამდგრადობის ფიზიკური ხასიათი, ისე მაგნიტობრუნვითი არამდგრადობის ზრდის

ინკრიმენტის დამოკიდებულება სხვადასხვა ფიზიკურ პარამეტრებზე ანალიზურად. ნაშრომი შეჯამებულია მეხუთე თავში, სადაც დახასიათებულია არამდგრადობის ფიზიკური ხასიათი, განხილულია დისკის რადიალური სტრუქტურა და სტრატეგიკაციის ზეგავლენა რეალურ დაკვირვებად ობიექტებზე.

I. ფიზიკური მოდელი

რადიალურად სტრატეფიცირებული დამაგნიტებული აკრეციული დისკების მდგრადობის შესასწავლად ჩვენ ვიყენებთ მაგნიტოჰიდროდინამიკურ მიახლოებას. რადგანაც სტრატეფიკაციის კანონი დამოკიდებულია რადიალურ კოორდინატზე, მოსახერხებელია ამოცანის განხილვა ცილინდრულ კოორდინატთა სისტემაში. ამ შემთხვევაში სამგანზომილებიანი მ.კ.დ. სისტემის განტოლებები მიიღებენ შემდეგ სახეს:

$$\left\{ \frac{\partial}{\partial t} + (\vec{V}\vec{\nabla}) \right\} \rho = -\rho(\vec{\nabla}\vec{V}) \quad (1)$$

$$\left\{ \frac{\partial}{\partial t} + (\vec{V}\vec{\nabla}) \right\} V_r - \frac{V_\phi^2}{r} = -\frac{1}{\rho} \frac{\partial}{\partial r} \left(p + \frac{B^2}{8\pi} \right) + \frac{1}{4\pi\rho} (\vec{B}\vec{\nabla}) B_r - \frac{B_\phi^2}{4\pi\rho r} - \frac{\partial \bar{\phi}}{\partial r} \quad (2)$$

$$\left\{ \frac{\partial}{\partial t} + (\vec{V}\vec{\nabla}) \right\} V_\phi + \frac{V_r V_\phi}{r} = -\frac{1}{\rho r} \frac{\partial}{\partial \phi} \left(p + \frac{B^2}{8\pi} \right) + \frac{1}{4\pi\rho} (\vec{B}\vec{\nabla}) B_\phi + \frac{B_r B_\phi}{4\pi\rho r} \quad (3)$$

$$\left\{ \frac{\partial}{\partial t} + (\vec{V}\vec{\nabla}) \right\} V_z = -\frac{1}{\rho} \frac{\partial}{\partial z} \left(p + \frac{B^2}{8\pi} \right) + \frac{1}{4\pi\rho} (\vec{B}\vec{\nabla}) B_z - \frac{\partial \bar{\phi}}{\partial z} \quad (4)$$

$$\left\{ \frac{\partial}{\partial t} + (\vec{V}\vec{\nabla}) \right\} B_r = (\vec{B}\vec{\nabla}) V_r - B_r (\vec{\nabla}\vec{V}) \quad (5)$$

$$\left\{ \frac{\partial}{\partial t} + (\vec{V}\vec{\nabla}) \right\} B_\phi = (\vec{B}\vec{\nabla}) V_\phi - B_\phi (\vec{\nabla}\vec{V}) + \frac{V_r B_\phi - V_\phi B_r}{r} \quad (6)$$

$$\left\{ \frac{\partial}{\partial t} + (\vec{V}\vec{\nabla}) \right\} B_z = (\vec{B}\vec{\nabla}) V_z - B_z (\vec{\nabla}\vec{V}) \quad (7)$$

$$(\nabla \bar{B}) = 0. \tag{8}$$

სადაც \mathbf{V} დინების კინემატიკური სიჩქარეა, \mathbf{B} მაგნიტური ველი, ρ და p გარემოს სიმკვრივე და წნევა, ხოლო ϕ გრავიტაციული პოტენციალი. მაგნიტოჰიდროდინამიკური სისტემა შედგება უწყვეტობის (1), მოძრაობის (2–4), მაგნიტური ველის ჩაყინულობის (5–7) და მაქსველის (8) განტოლებისაგან.

სისტემის მდგრადობის შესასწავლად ჩვენ ვიყენებთ წრფივი მდგრადობის სპექტრალურ ანალიზს. ამისათვის ფიზიკური ცვლადებიდან ჩვენ უნდა გამოვყოთ შემფოთებული და შეუმფოთებელი მდგომარეობები. რადიალური სტრატეფიკაციის ეფექტების შესასწავლად ავიღოთ სისტემის განზოგადოებული შეუმფოთებელი მდგომარეობა, რომელშიც რადიალურ სტრატეფიკაციას ექნება ხარისხობრივი ფორმა:

$$\bar{\Sigma}(r) = \Sigma_0 \left(\frac{r}{r_0} \right)^{-\beta_\Sigma}, \quad (\Sigma \equiv \rho). \tag{9}$$

$$\bar{p}(r) = p_0 \left(\frac{r}{r_0} \right)^{-\beta_p} \tag{10}$$

$$\bar{B}_\varphi(r) = B_{0\varphi} \left(\frac{r}{r_0} \right)^{-\beta_B} \tag{11}$$

$$\bar{B}_z(r) = 0 \tag{12}$$

$$\bar{B}_r(r) = 0 \tag{13}$$

$$\bar{V}_\varphi(r) = \bar{\Omega}r \quad (14)$$

$$\bar{V}_r(r) = 0 \quad (15)$$

$$\bar{V}_\varphi(r) = 0 . \quad (16)$$

ნულოვანი ინდექსები აღნიშნავენ ფიზიკური ცვლადების მნიშვნელობებს $r=r_0$ რადიუსზე დისკში. დავუშვათ დისკის მატერია ემორჩილება ცენტრალური ობიექტის გრავიტაციის ძალას და ბრუნავს კუპლერული კანონის მიხედვით. ამ შემთხვევაში მატერია ბრუნავს დიფერენციალურად, ანუ ბრუნვის კუთხური სიჩქარე დამოკიდებულია რადიუსზე შემდეგი კანონით:

$$\bar{\Omega}(r) = \Omega_0 \left(\frac{r}{r_0} \right)^{-q} \quad (17)$$

სტანდარტულ შემთხვევაში მატერიის ბრუნვა ემორჩილება კუპლერის კანონს და შესაბამისად $q=3/2$. ამ შემთხვევაში ჩვენ დავუშვით რომ ცენტრალური ობიექტის გრავიტაცია დომინირებს დისკის მატერიის თვითგრავიტაციის ძალებზე, რაც ფიზიკურად გამართლებული მიახლოებაა მასიური კომპაქტური ობიექტების ირგვლივ აკრეციული დისკების დინამიკის შესწავლისას.

როგორც ცხადყოფენ განტოლებები (9–16) ჩვენ ვიხილავთ მკაცრად აზიმუტალურ დინებას, რომელიც მოთავსებულია აზიმუტალურ მაგნიტურ ველში. სიჩქარის რადიალური მდგენელი განიხილება როგორც წონასწორული მდგომარეობის შეშფოთება. დინების წნევა და მაგნიტური ველი დამოკიდებულია რადიალურ კოორდინატზე ხარისხობრივი კანონით. . აღსანიშნავია სტრატეგიკაციის β პარამეტრები, რომლებიც ზოგად შემთხვევაში

იძლევიან სტრატეგიკაციის განსხვავებულ კანონებს სხვადასხვა ფიზიკური სიდიდეებისათვის.

ანალოგიური ამოცანა განხილულ იქნა Blokland et al. 2005:2-ში, თუმცა წარმოდგენილ ნაშრომში განხილული ამოცანა უფრო ზოგადია. Blokland et al. 2005:2-ში დინების მდგრადობა შესწავლილია რიცხვითი მეთოდების საშუალებით. ამ უკანასკნელ შრომაში დისკის სტრატეგიკაცია პარამეტრიზირებულია და დამოკიდებულია ერთ პარამეტრზე. ამ მხრივ წარმოდგენილი ნაშრომი უფრო ზოგადია, რადგანაც სტრატეგიკაციის სამი პარამეტრი ფორმალურად ერთმანეთისაგან დამოუკიდებელია. შედეგის მიღების შემდეგ ჩვენ დავუბრუნდებით Blokland et al. 2005:2 ფორმის ერთ პარამეტრიან სტრატეგიკაციას რათა გავამარტივოთ შედეგების პრეზენტაცია და მოვახდინოთ არსებულ რიცხვით შედეგებთან პირდაპირი შედარება.

განხილული რადიალურად არაერთგვაროვანი დისკის მოდელი ეფუძვნება აკრეციული დისკების ე.წ. თვით-მსგავს (self-similar) მოდელს რომელიც პირველად მოცემული იქნა შრომაში Spruit et al. (1987). ამ მხრივ მიღებულ შედეგებს შესაძლებელია ქონდეთ უფრო ზოგადი მნიშვნელობა ვიდრე კონკრეტულად მაგნიტობრუნვითი არამდგრადობის თვისებების შესწავლა სტრატეგიკირებულ გარემოში. აკრეციული დისკის თვით-მსგავსი ნოკვიფურაცია წარმოადგენს ჩვენს მიერ განხილული შეუშფოთებელი მდგომარეობის (განტოლებები 9–16) ერთ-ერთ კერძო შემთხვევას.

II. წრფივი შეშფოთებები

წრფივ შეშფოთებათა ანალიზი გულისხმობს ფიზიკური ცვლადების განცალკევებას შეუშფოთებელ და შეშფოთებულ ნაწილებად და შემდგომ მცირე ამპლიტუდის შეშფოთებების დინამიკის შესწავლას. ამოცანის წრფივობა მიიღწევა შეშფოთებების წონასწორულ სიდიდეებთან ფარდობის სიმცირით, რაც საშუალებას გვაძლევს სიმცირის გამო უგულვებელყოთ არაწრფივი წევრები. შემოვიყვანოთ წრფივი შეშფოთებები შემდეგნაირად:

$$\Sigma(r, \varphi, z) = \bar{\Sigma}(r) + \Sigma'(r, \varphi, z), (\Sigma \equiv \rho). \quad (18)$$

$$p(r, \varphi, z) = \bar{p}(r) + p'(r, \varphi, z) \quad (19)$$

$$V_\varphi(r, \varphi, z) = \bar{\Omega}(r)r + V_\varphi'(r, \varphi, z) \quad (20)$$

$$V_r(r, \varphi, z) = V_r'(r, \varphi, z) \quad (21)$$

$$V_z(r, \varphi, z) = V_z'(r, \varphi, z) \quad (22)$$

$$B_\varphi(r, \varphi, z) = \bar{B}_\varphi(r) + B'(r, \varphi, z) \quad (23)$$

$$B_r(r, \varphi, z) = B'(r, \varphi, z) \quad (24)$$

$$B_z(r, \varphi, z) = B'(r, \varphi, z) \quad (25)$$

სტანდარტული წრფივი ანალიზისაგან განსხვავებით Tevzadze et. al (2010)–ის ანალოგიურად შემოვიტანოთ რადიალურად ხარისხობრივი კანონით ნორმირებული შეშფოთებები:

$$\Sigma'(\vec{r}) = \hat{\Sigma}(\vec{r}) \left(\frac{r}{r_0} \right)^{-\delta_\Sigma}, (\Sigma \equiv \rho). \quad (26)$$

$$p'(\vec{r}) = \hat{p}(\vec{r}) \left(\frac{r}{r_0} \right)^{-\delta_p} \quad (27)$$

$$\vec{V}'(\vec{r}) = \hat{V}(\vec{r}) \left(\frac{r}{r_0} \right)^{-\delta_v} \quad (28)$$

$$B'_{\phi,r,z}(\vec{r}) = \hat{B}_{\phi,r,z}(\vec{r}) \left(\frac{r}{r_0} \right)^{-\delta_B} \quad (29)$$

სადაც δ პარამეტრები არიან ნორმირების თავისუფალი პარამეტრები. მათი ფორმის დაზუსტება საშუალებას მოგვცემს გავამარტივოთ ამოცანის აღწერა მოგვიანებით. ნორმირების ხარისხობრივი კანონი ნაკარნახებია შეუშფოთებელ მდგომარეობაში ფიზიკური სიდიდეების რადიალურად ხარისხობრივი განაწილებით.

(26–29) ფორმით ნორმირებული შეშფოთებებისა და (9–16) შეუშფოთებელი მდგომარეობის მ.კ.დ. განტოლებებში ჩასმით მივიღებთ წრფივ შეშფოთებათა დინამიკის აღმწერ კერძო წარმოებულებიან დიფერენციალურ განტოლებათა შემდეგ სისტემას:

$$\frac{\partial \hat{\rho}}{\partial t} + \frac{\partial \hat{V}_z}{\partial z} \rho_0 \left(\frac{r}{r_0} \right)^{-\beta_\Sigma - \delta_v + \delta_\Sigma} + \rho_0 \left(\frac{r}{r_0} \right)^{-\delta_v - \beta_\rho + \delta_\rho} \left[\frac{\partial \hat{V}_r}{\partial r} + \frac{-\beta_\rho - \delta_v + 1}{r} \hat{V}_r \right] = 0 \quad (30)$$

$$\begin{aligned} & \frac{\partial \hat{V}_r}{\partial t} - 2\Omega_0 \hat{V}_\varphi \left(\frac{r}{r_0}\right)^{-q} + \frac{1}{\rho_0} \left(\frac{r}{r_0}\right)^{\beta_\rho - \delta_\rho + \delta_V} \left[\frac{\partial \hat{p}}{\partial r} - \frac{\hat{p} \delta_\rho}{r} \right] + \frac{B_{\varphi 0}}{4\pi \rho_0} \left(\frac{r}{r_0}\right)^{\beta_\rho - \beta_B - \delta_B + \delta_V} \left[\frac{\partial \hat{B}_\varphi}{\partial r} + \frac{-\beta_B - \delta_B + 2}{r} \hat{B}_\varphi \right] - \\ & - \frac{\hat{p}}{\rho_0^2 r_0} \left[-p_0 \beta_p \left(\frac{r}{r_0}\right)^{2\beta_\rho - \beta_p - \delta_\rho + \delta_V - 1} - \frac{B_{\varphi 0}^2 \beta_B}{4\pi} \left(\frac{r}{r_0}\right)^{2\beta_\rho - 2\beta_B - \delta_\rho + \delta_V - 1} + \frac{B_{\varphi 0}^2}{4\pi} \left(\frac{r}{r_0}\right)^{2\beta_\rho - 2\beta_B - \delta_\rho + \delta_V - 1} \right] = 0 \end{aligned} \quad (31)$$

$$\frac{\partial \hat{V}_\varphi}{\partial t} + (2-q)\Omega_0 \hat{V}_r \left(\frac{r}{r_0}\right)^{-q} + \frac{B_{\varphi 0}(\beta_B - 1)\hat{B}_r}{4\pi \rho_0} \left(\frac{r}{r_0}\right)^{\beta_\rho - \beta_B - \delta_B + \delta_V} = 0 \quad (32)$$

$$\frac{\partial \hat{V}_z}{\partial t} + \frac{1}{\rho_0} \left(\frac{r}{r_0}\right)^{-\beta_\rho - \delta_\rho + \delta_V} \frac{\partial \hat{p}}{\partial z} + \frac{B_{\varphi 0}}{4\pi \rho_0} \left(\frac{r}{r_0}\right)^{\beta_\rho - \beta_B - \delta_B + \delta_V} \frac{\partial \hat{B}_\varphi}{\partial z} = 0 \quad (33)$$

$$\frac{\partial \hat{B}_r}{\partial t} = 0 \quad (34)$$

$$\frac{\partial \hat{B}_\varphi}{\partial t} + B_{\varphi 0} \left(\frac{r}{r_0}\right)^{-\beta_B + \delta_B - \delta_V} \left[-\frac{\beta_B + \delta_V}{r} \hat{V}_r + \frac{\partial \hat{V}_r}{\partial r} \right] + q\Omega_0 \hat{B}_r \left(\frac{r}{r_0}\right)^{-q} + B_{\varphi 0} \frac{\partial \hat{V}_z}{\partial z} \left(\frac{r}{r_0}\right)^{-\beta_B + \delta_B - \delta_V} = 0 \quad (35)$$

$$\frac{\partial \hat{B}_z}{\partial t} = 0 \quad (36)$$

$$\frac{\partial \hat{B}_r}{\partial r} + \frac{(1-\delta_B)\hat{B}_r}{r} + \frac{\partial \hat{B}_z}{\partial z} = 0 \quad (37)$$

აღნიშნული სისტემის მისაღებად უგულვებყოვილია შეშფოთებების მიმართ არაწრფივი წევრები.

ზოგადად ამ ტიპის კერძო წარმოებულნიან დიფერენციალურ განტოლებათა სისტემის ამოხსნა შესაძლებელია მხოლოდ რიცხვითი მეთოდების გამოყენებით. ანალიზური შედეგის მისაღებად გამოვიყენოთ რამოდენიმე ფიზიკური მიახლოება, რომელიც გაამარტივებს ანალიზს, მაგრამ შეინარჩუნებს მაგნიტობრუნვითი არამდგრადობის ფიზიკურ თვისებებს.

ამ მიახლოებებიდან პირველია ღერძულად სიმეტრიული შემფოთებების განხილვა. მათემატიკურ ენაზე ეს ნიშნავს რომ შემფოთებული სიდიდეები არ არიან დამოკიდებულნი აზიმუტალურ კოორდინატზე. შესაბამისად ყველა ფიზიკური სიდიდისათვის გამოვიყენეთ:

$$\frac{\partial}{\partial \varphi} \equiv 0 \quad (38)$$

ზოგადად მაგნიტობრუნვითი არამდგრადობა შესაძლებელია განვითარდეს როგორც ღერძულად სიმეტრიული, ასევე არასიმეტრიული შემფოთებების საშუალებით. თუმცა, არამდგრადობის ძირითადი თვისების მიხედვით იგი ღერძულად სიმეტრიულია (იხ. Balbus & Hawley 1992). ამ მხრივ გამოყენებული მიახლოება ინარჩუნებს არამდგრადობას და ამავე დროს მნიშვნელოვნად ამარტივებს მათემატიკურ ფორმალიზმს.

მეორე მიახლოება სპექტრალური ამოცანის ამოხსნის გზაზე არის ე.წ. ლოკალური მიახლოება. ამ შემთხვევაში ვიხილავთ მცირემასშტაბოვან შემფოთებებს, როდესაც შემფოთების მახასიათებელი ზომა გაცილებით ნაკლებია ცენტრამდე რადიუსთან შედარებით. ამ შემთხვევაში ცვლადი რადიალური კოორდინატისათვის სამართლიანია პირობა:

$$\frac{r - r_0}{r} \ll 1. \quad (39)$$

ამ პირობის საშუალებით ჩვენ შეგვიძლია რადიალურ კოორდინატზე ცხადი სახით დამოკიდებულების უგულვებელყოფა და მდგრადობის შესწავლა ფიქსირებულ r_0 რადიუსზე. ამ მიახლოებებში სისტემა (30–37) მარტივდება ისეთი ფორმით, რომ აღარ შეიცავს კოორდინატზე ცხადი სახით დამოკიდებულ პარამეტრებს. ამ შემთხვევაში შესაძლებელი ხდება წრფივ შემფოთებათა დინამიკის არმწერი განტოლებების ანალიზი სრული ფურიე გაშლის საშალებით, როდესაც:

$$\Psi(r, t) \sim \Phi(k, \omega) \exp(i\omega t - ik_r r - ik_z z) \quad (40)$$

სადაც Ψ და Φ შემფოთებების განზოგადოებული ვექტორებია რეალურ და ფაზურ სივრცეებში.

ფურიე გაშლა საშუალებას გვაძლევს დიფერენციალური განტოლებათა სისტემიდან გადავიდეთ კომპლექსურ ალგებრულ სისტემაზე წრფივ შემფოთებათა ჰარმონიკებისათვის, სადაც სივრცული და დროითი წარმოებულები შესაბამისად იცვლება ტალღური რიცხვებითა და სიხშირით:

$$i\omega\rho'' + \frac{\rho_0(1 - \beta_\rho - \delta_V - ik_r r_0)}{r_0} V_r'' - ik_z \rho_0 V_z'' = 0 \quad (38)$$

$$i\omega V_r'' - 2\Omega V_\phi'' - \frac{ik_r P''}{\rho_0} - \frac{\delta_P P''}{\rho_0 r_0} + \frac{P_0 \beta_P \rho''}{\rho_0^2 r_0} - \frac{ik_r B_{\phi 0}}{4\pi\rho_0} B_\phi'' + \frac{(\beta_B - 1)B_{\phi 0}^2}{4\pi\rho_0^2 r_0} \rho'' + \frac{B_{\phi 0}(2 - \beta_B - \delta_B)}{4\pi\rho_0 r_0} B_\phi'' = 0 \quad (39)$$

$$i\omega V_\phi'' + (2 - q)\Omega V_r'' + \frac{B_{\phi 0}(\beta_B - 1)B_r''}{4\pi\rho_0} = 0 \quad (40)$$

$$i\omega V_z'' - ik_z \frac{p''}{\rho_0} - ik_z \frac{B_{\phi 0} B_\phi''}{4\pi\rho_0} = 0 \quad (41)$$

$$B_r'' = 0 \quad (42)$$

$$i\omega B_\phi'' - B_{\phi 0} \frac{ik_r r_0 + \beta_B + \delta_V}{r_0} V_r'' + q\Omega_0 B_r'' - ik_z B_{\phi 0} V_z'' = 0 \quad (43)$$

$$-ik_r B_r'' + \frac{(1 - \delta_B) B_r''}{r} - ik_z B_z'' = 0, \quad (44)$$

ზოგადად, ფურიე ჰარმონიკები და მათი დინამიკის აღმწერი განტოლებებიც კომპლექსურია, ხოლო X სივრცეში მოცემული ფიზიკური ცვლადები კი რეალური.

გამოვიყენებთ რა ადიაბატური კუმშვადობის პირობას:

$$p'' = c_s^2 \rho''$$

და რადიალური და აზიმუტალური სიჩქარის შემფოთებების კავშირს

$$V_r'' = -\frac{i\omega}{(2-q)\Omega_0} V_\phi''$$

სისტემა (38–44) შესაძლებელია ამოიხსნას ანალიზურად. ამ შემთხვევაში ამოხსნადობის პირობა მოიცემა ე.წ. დისპერსიის განტოლებით, რომელიც ზოგადად აღწერს წრფივ შემფოთებათა დინამიკას განხილულ მიახლოებებში:

$$\omega^4 + (a_1 + ib_1)\omega^2 + a_2 + ib_2 = 0 \quad , \quad (45)$$

სადაც დისპერსიაში გამოყენებული პარამეტრები მოიცემა შემდეგი სახით:

$$a_1 = -\kappa^2 - (V_A^2 + c_s^2)k^2 - \frac{V_A^2}{r_0^2} s_1 \quad (55)$$

$$s_1 \equiv \beta_B - \delta_B - \beta_\rho + 1 + \beta_\rho \beta_B + \beta_\rho \delta_B - \beta_B^2 - \beta_B \delta_B + 2\beta_B \delta_V + 2\delta_B \delta_V - \beta_\rho \delta_V - 3\delta_V^2 + \frac{c_s^2}{V_A^2} \times \\ \times \left(\frac{\beta_p}{\gamma} - \delta_p \right) (\beta_\rho + 3\delta_V - 1) \quad (56)$$

$$b_1 = i \frac{k_r V_A^2}{r_0} s_{12} \quad (57)$$

$$s_{12} \equiv \beta_B + \delta_B + \delta_V - 1 + \frac{c_s^2}{V_A^2} \left(\beta_\rho + 3\delta_V - 1 + \delta_p - \frac{\beta_p}{\gamma} \right) \quad (58)$$

$$a_2 = k_z^2 \kappa^2 (V_A^2 + c_s^2) + \frac{V_A^2 k_z^2 c_s^2}{r_0^2} s_2 \quad (59)$$

$$s_2 \equiv \beta_B - \delta_B - 2\beta_\rho + 2 + \beta_\rho \beta_B + \beta_\rho \delta_B - \beta_B^2 - \beta_B \delta_B - 4\delta_V + 2\beta_B \delta_V + 2\delta_B \delta_V - (1 - \beta_\rho + \beta_B - 2\delta_V) \times \\ \times \left(\frac{\beta_p}{\gamma} - \delta_p + \frac{\beta_B - 1}{2\pi\gamma\beta} \right) \quad (60)$$

$$b_2 = 0 \quad (61)$$

ზოგადად, დისპერსიული განტოლების (45) ამონახსნი აღწერს წრფივ შემფოთებათა ევოლუციის ხასიათს დროში. ამ კომპლექსური მეოთხე რიგის განტოლების ამონახსნმა უნდა აღწეროს ორი მეორე რიგის მოდა: მაღალსიხშირული და დაბალსიხშირული. არამდგრადობის პირობა ნიშნავს რომ სიხშირე უნდა იყოს წარმოსახვითი, ან უნდა

გააჩნდეს მნიშვნელოვანი წარმოსახვითი ნაწილი. ეს ნიშნავს რომ სიხშირის კვადრატი არის წარმოსახვითი ან უარყოფითი. მოცემული ნაშრომის მიზანია მაგნიტობრუნვითი არამდგრადობის შესწავლა, ამიტომ ჩვენ უგულვებელყოფთ მაღალსიხშიროვან მოდას და შევეცდებით გავარკვიოთ დაბალსიხშიროვანი ამონახსნის თვისებები.

ამოცანის გასამარტივებლად მოვახდინოთ სიმრუდის უგულვებელყოფა. ამ შემთხვევაში უნდა ჩავატაროთ ტალღური რიცხვის ისეთი შერჩევა, რომელიც მრუდწირულ წარმოებულს გადაიყვანს მართკუთხა წარმოებულში:

$$\frac{1}{r} \frac{\partial}{\partial r}(rf) = \left(\frac{\partial}{\partial r} + \frac{1}{r} \right) f \rightarrow \frac{\partial f}{\partial r}.$$

აღნუშნული პირობა რაც ლოკალურ მიახლოებასა და ტალღური რიცხვების სივრცეში მოგვცემს შედეგ გარდაქმნას რადიალური ტალღური რიცხვისათვის:

$$k_r \rightarrow k_r - \frac{i}{2r_0} \tag{62}$$

ამ პირობის გამოყენებით ვიღებთ კომპლექსური დისპერიის ფორმას (იხ. განტოლება 45), სადაც პარამეტრების ახალი მნიშვნელობებია:

$$a_1 = -\kappa^2 - (V_A^2 + c_s^2) \left(k^2 - \frac{1}{4r_0^2} \right) + \frac{V_A^2}{2r_0^2} (s_3 - 2s_1) \tag{63}$$

$$s_3 \equiv \beta_B + \delta_B + \delta_V - 1 + \frac{c_s^2}{V_A^2} \tag{64}$$

$$s_1 \equiv \beta_B - \delta_B - \beta_\rho + 1 + \beta_\rho \beta_B + \beta_\rho \delta_B - \beta_B^2 - \beta_B \delta_B + 2\beta_B \delta_V + 2\delta_B \delta_V - \beta_\rho \delta_V - 3\delta_V^2 + \frac{c_s^2}{V_A^2} \times$$

$$\times \left(\frac{\beta_p}{\gamma} - \delta_p \right) (\beta_\rho + 3\delta_V - 1) \quad (65)$$

$$b_1 = i \frac{k_r V_A^2}{r_0} s_4 \quad (66)$$

$$s_4 \equiv \beta_B + \delta_B + \delta_V + \frac{c_s^2}{V_A^2} \left(\beta_\rho + 3\delta_V + \delta_p - \frac{\beta_p}{\gamma} \right) \quad (67)$$

ხოლო a და b პარამეტრების ფორმა არ იცვლება:

$$a_2 \rightarrow a_2, \quad b_2 \rightarrow b_2 = 0.$$

მიღებული დისპერსია აღწერს წრფივ შემფოთებათა სპექტრალურ მახასიათებლებს ცილინდრულ მაგნიტოჰიდროდინამიკურ პლაზმაში ლოკალური ღერძულად სიმეტრიული შემფოთებებისათვის. სრტათიფიკაციით წევრები გაერთიანებულია s პარამეტრით აღნიშნულ წევრებში. საინტერესოა რომ მიღებული დისპერსია აღწერს არა მხოლოდ მაგნიტობრუნვითი არამდგრადობის მოდიფიკაცია, არამედ მაღალსიხშიროვანი მაგნიტობგერითი მოდის ცვლილებასაც.

დისპერსიის განტოლების კომპლექსური ამონახსნი ზოგადად უნდა აღწერდეს როგორც მოდის საკუთარ ჰარმონიულ (პერიოდულ ან ექსპონენციალურ) ცვალებადობას, ისე ფონურ, ალგებრულ (ხარისხობრივ) ცვალებადობას. ხარისხობრივი ფუნქციებისათვის ფურიე ანალიზი, ანუ ჰარმონიული მეთოდით აღწერის გზა არ არის ოპტიმალური მეთოდი. ამ გზას მიყვავართ კომპლექსურ ამონახსნებამდე მცირე კომპლექსური ნაწილით. ამ შემთხვევაში რთულდება სიხშირის კომპლექსური კომპონენტების იდენტიფიკაცია: ძნელია ერთმანეთისაგან განვასხვავოთ თუ რა ნაწილია გამოწვეული მაგნიტობრუნვითი

არამდგრადობით, ხოლო რა ნაწილი ფონური ზემოქმედებით. სწორედ ამ განცალგების გასაკეთებლად შესაძლებელია ნორმირების პარამეტრების შერჩევის წესის დადგენა. ამისათვის, მდგრადობის ანალიზი ჩავატაროთ წინასწარ შერჩეული ხარისხობრივი ნორმირების პარამეტრების შემთხვევაში.

III. შეშფოთებების ნორმირების კანონი

წრფივი მდგრადობის ანალიზის გასამარტივებლად მივმართოთ თავისუფალი პარამეტრების შერჩევის წესს, რომლებიც შემოვიღეთ წრფივი შეშფოთებების ხარისხობრივი ნორმირებისას. ჩვენი ამოცანაა დისპერსიული განტოლების კომპლექსური პარამეტრების განულება, ე.ი. გვინდა b_1 -ის ნულთან ტოლობა. ამისთვის ვიყენებთ შესაძლებელი სამი პირობიდან (δ -ებისათვის) ორს (b_1 -ის ნულთან ტოლობა გვინდა β -სგან დამოუკიდებლად). შესაბამისად გვაქვს:

$$\delta_B = -\beta_B - \delta_V$$

$$\delta_P = -\beta_P + \frac{\beta_P}{\gamma} - 3\delta_V \quad (68)$$

ასეთი ნორმირების პირობებში დისპერსიული განტოლება მარტივდება და იღებს შემდეგ სახეს:

$$\omega^4 + a_1 \omega^2 + a_2 = 0 \quad (69)$$

სადაც ყველა კოეფიციენტი რეალურია:

$$a_1 = -\kappa^2 - (V_A^2 + c_s^2) \left(k^2 - \frac{1}{4r_0^2} \right) + \frac{V_A^2}{2r_0^2} \left(\frac{c_s^2}{V_A^2} - 3 - 3\beta_B - 2\delta_V + 2\beta_P - 2\beta_B \delta_V + 4\beta_P \delta_V + 10\delta_V^2 \right), \quad (70)$$

$$a_2 = k_z^2 \kappa^2 (V_A^2 + c_s^2) + \frac{V_A^2 k_z^2 c_s^2}{r_0^2} s_2 \quad (71)$$

და

$$s_2 \equiv 2 + 2\beta_B - 2\beta_\rho - \beta_\rho \delta_V + \beta_B \delta_V - 3\delta_V - 2\delta_V^2 - (1 - \beta_\rho + \beta_B - 2\delta_V) \quad , \quad (72)$$

ხოლო $V_A^2 = \frac{B_{\varphi 0}^2}{4\pi\rho_0}$ ალვენის და $c_s^2 = \frac{\mathcal{P}_0}{\rho_0}$ ბგერის სიჩქარეებია.

აღნიშნულ ფორმალიზმში a კოეფიციენტები განისაზღვრებიან გარემოს ფიზიკური პარამეტრებით, ხოლო s პარამეტრი სტრათიფიკაციის მახასიათებელი ხარისხის მაჩვენებლებით.

დარჩენილი ერთი თავისუფლების ხარისხი გამოვიყენოთ მესამე ნორმირების პარამეტრის დასადგენად. ეს პირობა გაანულებს s_2 -ის ბოლო წევრს და შესაბამისად s_2 -ში აღარ გვექნება პლაზმურ β -ზე ცხადი სახით დამოკიდებულება:

$$\delta_V = \frac{1}{2} - \frac{\beta_\rho}{2} + \frac{\beta_B}{2} ,$$

ამ პირობის გამოყენებით მივიღებთ დისპერსიის კოეფიციენტების ახალ სახეს:

$$a_1 = \kappa^2 + (V_A^2 + c_s^2) \left(k^2 - \frac{3}{4r_0^2} \right) - \frac{V_A^2}{4r_0^2} (3\beta_B^2 + \beta_\rho^2 - 4\beta_B\beta_\rho - 5) , \quad (73)$$

$$a_2 = k_z^2 \kappa^2 (V_A^2 + c_s^2) ,$$

ხოლო s_2 ავტომატურად განულდა.

გარდა ამისა, ახლა უკვე შეგვიძლია δ პარამეტრები გამოვსახოთ β_B -ს β_ρ -ს და β_p -ს ხარისხობრივი სტრათიფიკაციის მაჩვენებლების საშუალებით:

$$\delta_B = -\frac{3}{2}\beta_B + \frac{1}{2}\beta_\rho - \frac{1}{2} \quad , \quad (74)$$

$$\delta_p = -\frac{3}{2}\beta_B + \frac{1}{2}\beta_\rho + \frac{\beta_p}{\gamma} - \frac{3}{2} \quad , \quad (75)$$

$$\delta_V = \frac{1}{2} - \frac{\beta_\rho}{2} + \frac{\beta_B}{2} \quad , \quad (76)$$

$$\delta_\Sigma = \delta_p \quad . \quad (77)$$

საბოლოოდ, წრფივ შემფოთებათა რადიალური ნორმირების წესი გამოითვლება შემფოთებელი მბრუნავი დისკური მატერიის რადიალური არაერთგვაროვნების პარამეტრების საშუალებით. ამ შემთხვევაში მიღებული წრფივი შემფოთებების ჰარმონიული ნაწილები აღარ შეიცავენ ფონურ ზემოქმედებას და შესაძლებელი ხდება მათი სტანდარტული ფურიე ანალიზის საშუალებით შესწავლა. ასეთი წრფივი შემფოთებები მარტივად აღიწერებიან პერიოდული და ექსპონენციალური ფუნქციების საშუალებით და მათი დისპერსიული თანაფარდობა აღარ შეიცავს ფონური ზემოქმედების არტიფაქტებს.

(74-77) განტოლებების გამოყენებით შესაძლებელი ხდება დისპერსიული განტოლების გადაწერა რეალური კოეფიციენტებში. ასეთი ჩაწერა მნიშვნელოვნად ამარტივებს ამოცანის სპექტრალურ აღწერას და შესაბამისად სტრათიფიკაციის ეფექტების ანალიზურ შესწავლას მაგნიტობრუნვით არამდგრადობაზე. ცხადია ზოგადად ნებისმიერი ბეტა პარამეტრები არ შეესაბამებიან წონასწორულ კეპლერულ დისკის მდგომარეობას. თუმცა, ჩვენ ვინარჩუნებთ

ზოგად ფორმალიზმს რათა განვიხილოთ არა მხოლოდ ერთ პარამეტრზე დამოკიდებული რადიალური სტრათიფიკაცია (იხ. Blokland et al. 2005), არამედ სხვა შესაძლო კონფიგურაციებიც.

IV. მდგრადობის ანალიზი

არამდგრადობის თვისებების დასადგენად ამოვხსნათ დაყვანილი დისპერსიული განტოლება (69). სტადნარტული ამონახსნი ზოგადი ფორმით ჩაიწერება შემდეგი სახით:

$$\omega^2 = \frac{a_1}{2} \pm \sqrt{\frac{a_1^2}{4} - a_2} \quad (78)$$

ექსპონენციალური არამდგრადობისათვის საჭიროა რომ სიხშირე იყოს წარმოსახვითი სიდიდე, ანუ $\omega^2 < 0$. იმის გათვალისწინებით რომ a_1 დადებითი სიდიდეა და ამონახსნის კვადრატისათვის სამართლიანია პირობა: $\omega^2 > 0$. ეს ნიშნავს რომ მოცემული დისპერსიულ განტოლებას არ გააჩნია მხოლოდ ექსპონენციალურად არამდგრადი ამონახსნი.

ამ შემთხვევაში უნდა განვიხილოთ ე.წ. შერეული ტიპის არამდგრადობა და ვეძებთ მამონახსნი ასეთი ფორმით:

$$\omega \equiv \omega_1 - i\sigma.$$

ამ შემთხვევაში (78)-ის გამოყენებით მივიღებთ რომ:

$$\sigma = \left[\frac{\sqrt{V_A^2 + c_s^2}}{2} \kappa k_z - \frac{\kappa^2}{4} - \frac{V_A^2}{r_0^2} \frac{3\beta_B^2 + \beta_\rho^2 - 4\beta_B\beta_\rho - 5}{16} - \frac{1}{4}(V_A^2 + c_s^2) \left(k^2 - \frac{3}{4r_0^2} \right) \right]^{\frac{1}{2}} \quad (79)$$

და

$$\omega_1 = \left[\frac{\sqrt{V_A^2 + c_s^2}}{2} \kappa k_z + \frac{\kappa^2}{4} + \frac{V_A^2}{r_0^2} \frac{3\beta_B^2 + \beta_\rho^2 - 4\beta_B\beta_\rho - 5}{16} + \frac{1}{4} (V_A^2 + c_s^2) \left(k^2 - \frac{3}{4r_0^2} \right) \right]^{\frac{1}{2}} \quad (80)$$

ხოლო არამდრგადობის პირობა ჩაიწერება დისკრიმინანტის უარყოფითი ნიშნის პირობით:

$$\frac{a_1^2}{4} < a_2.$$

ჩვენი დისპერსიის შემთხვევაში ეს უკანასკნელი პირობა მიიღებს შემდეგ სახეს:

$$\Delta_r + \Omega_0^2 + (c_s^2 + V_A^2) \left(k^2 - \frac{3}{4r_0^2} \right) < 2\kappa k_z \sqrt{c_s^2 + V_A^2}, \quad (81)$$

სადაც სტრატეგიკაციით გამოწვეული მოდიფიკაციის წევრი ჩაიწერება როგორც:

$$\Delta_r = -\frac{1}{4} (3\beta_B^2 + \beta_\rho^2 - 4\beta_B\beta_\rho - 5) \frac{V_A^2}{r_0^2}. \quad (82)$$

კლასიკური მაგნიტობრუნვითი არამდრგადობის პირობასთან შედარებით

$$\Omega_0^2 + (c_s^2 + V_A^2) \left(k^2 - \frac{3}{4r_0^2} \right) < 2\Omega_0 k_z \sqrt{c_s^2 + V_A^2} \quad (83)$$

(81)–ე განტოლება ცხადყოფს რადიალური სტრათიფიკაციის ზემოქმედების ხასიათს. დელტას წევრი გამოიწვევს სტაბილიზაციას თუ $\Delta_r > 0$, და დესტაბილიზაციას თუ $\Delta_r < 0$. ზოგადი სტრათიფიკაციის შემთხვევაში მაგნიტობრუნვით არამდგრადობაზე ზეგავლენა განისაზღვრება (82)–ე განტოლებით და წონასწორული მდგომარეობის სტრათიფიკაციის ბეტა პარამეტრებით. წნევისა და მაგნიტური ველის სტრათიფიკაციით გამოწვეული ეფექტები განხილულია ნახ. 1-ზე ცალკ-ცალკე. ნაჩვენები ნახაზი გვამღებს დელტა წევრის სიდიდებს მუდმივი მაგნიტური ველისა და ცვლადი წნევის შემთხვევაში და პირიქით. როგორც ნახაზიდან ჩანს, ზოგადად, მაგნიტური ველის სტრათიფიკაცია მეტ ზეგავლენად აზღენს დელტა წევრის მოდულზე, წნევის სტრათიფიკაციასთან შედარებით.

წინა შრომებთან პირდაპირ შედარებისათვის გადავიდეთ ერთ პარამეტრიან სტრათიფიკაციის კანონზე (Blokland et al. 2005):

$$\beta_B = \frac{5+a}{4} \quad (84)$$

$$\beta_p = \frac{3+a}{2} \quad (85)$$

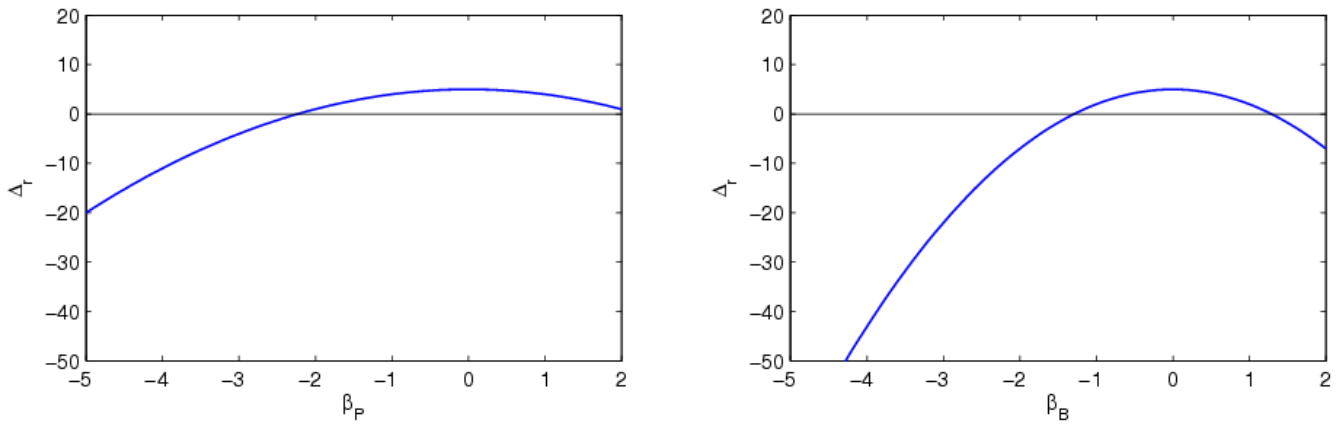
ამ შემთხვევაში სტრათიფიკაციით გამოწვეული დელტა წევრი მიიღებს შემდეგ სახეს (იხ. განტ. 82):

$$\Delta_r = \frac{(a+1)(a+9)}{16} \frac{V_A^2}{r_0^2} \quad (86)$$

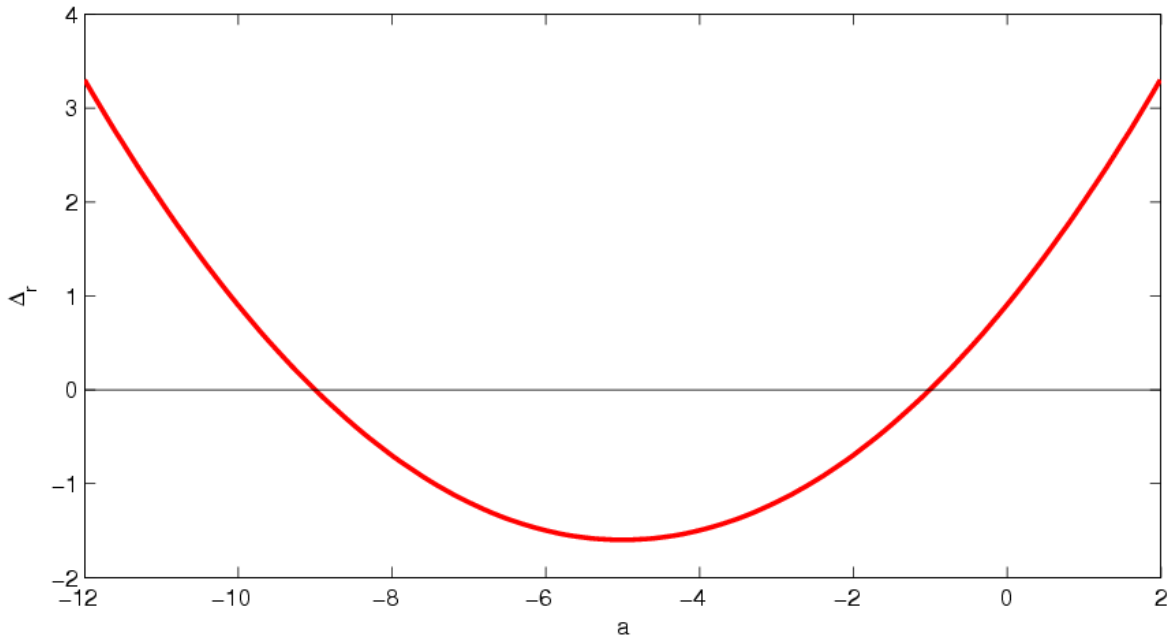
სტრათიფიკაციის პარამეტრის მნიშვნელობა დელტა წევრის ნიშანს და შესაბამისად არამდგრადობაზე ზემოქმედების ტიპს. ასე თუ

$$-9 < a < -1 \quad (87)$$

მაშინ დელტა წვერი უარყოფითია (ეხ. განტოლება 84 და ნახაზი 2) და მაგნიტობრუნვითი არამდრადობა განიცდის დესტაბილიზაციას, ანუ ამ ტიპის სტრატეგიკაციის დისკებში ტურბულენტობის სიმძლავრე მოიმატებს კლასიკურ მაგნიტობრუნვით არამდრადობასთან შედარებით. საწინააღმდეგო შემთხვევაში ჩვენ გვექნება სტაბილიზაციის ეფექტი, რაც თავის მხრივ გამოიწვევს ტურბულენტობის ინტენსივობის კლებას და შესაძლებელია აკრეციის პროცესის შეჩერებას. შემგომში, (87)-ე განტოლებით განსაზღვრულ სტრატეგიკაციის კანონს პირობითად ვუწოდებთ სუსტ და ზომიერ სტრატეგიკაცია, მაშინ როცა ამ ინტერვალიდან გამოსულ სტრატეგიკაციის პარამეტრის შესაბამის დისკს - ძლიერად სტრატეგიცირებულ დისკს.



ნახაზი 1. წნევისა და მაგნიტური ველის სტრატეგიკაციით გამოწვეული ეფექტი მაგნიტობრუნვით არამდრადობაზე. სტრატეგიკაციის გამოწვეული დელტა წვერი ნაჩვენებია რადიალურად ერთგვაროვანი მაგნიტური ველისა და ცვლადი წნევის შემთხვევაში მარცხენა გრაფიკზე, ხოლო მუდმივი წნევისა და რადიალურად არაერთგვაროვანი მაგნიტური ველის შემთხვევაში მარჯვენა გრაფიკზე. მაგნიტური ველის არაერთგვაროვნების ეფექტი დომინირებს წნევის არაერთგვაროვნების ეფექტზე როგორც ხარისხობრივი მაჩვენებლების ინტერვალიში, ისე შესწორების ამპლიტუდის თვალსაზრისით.



ნახაზი 2. სტრატეგიკაციით გამოწვეული შესწორების, დელტა წევრის დამოკიდებულება სტრატეგიკაციის a პარამეტრზე. შესწორების წევრის უარყოფითი ნიშანი, და ე.ი. არამდგრადობის გაძლიერება დაიკვირვება ინტეგრალში $-9 < a < -1$. დანარჩენ უბნებში დელტა წევრი დადებითია და რადიალური სტრათეგიკაციის გამო ხდება მაგნიტობრუნვითი არამდგრადობის შესუსტება.

ბოლოს, გამოვიყვანოთ მაგნიტობრუნვითი არამდგრადობის პერიოდული და ექსპონენციალური ევოლუციის მახასიათებელი პარამეტრები შესაძლებელია დავითვალოთ (79,80) და (84,85) განტოლებების საშუალებით. შედეგად მივიღებთ ერთ a პარამეტრზე დამოკიდებულ დისპერსიის განტოლების ამონახსნებს:

$$\omega_1 = \left[\frac{\sqrt{1+2\pi\gamma\beta}}{2} \kappa k_z V_A + \frac{\kappa^2}{4} + \frac{V_A^2}{r_0^2} \frac{M_a}{4} + \frac{1}{4} \frac{V_A^2}{r_0^2} (1+2\pi\gamma\beta)(k^2 r_0^2 - 0.75) \right]^{\frac{1}{2}}, \quad (88)$$

და

$$\sigma = \left[\frac{\sqrt{1+2\pi\gamma\beta}}{2} \kappa k_z V_A - \frac{\kappa^2}{4} - \frac{V_A^2}{r_0^2} \frac{M_a}{4} - \frac{1}{4} \frac{V_A^2}{r_0^2} (1+2\pi\gamma\beta)(k^2 r_0^2 - 0.75) \right]^{\frac{1}{2}}, \quad (89)$$

სადაც $\beta = \frac{c_s^2}{V_A^2}$ სტანდარტული პლაზმური პარამეტრია, ხოლო Ma სტრათიფიკაციით გამოწვეული შესწორება. აღნიშნული ამონახსნები აღწერენ მეოთხე რიგის დისპერსიის დაბალსიხშირულ, ან არამდგრად ამონახსნს. ანალოგიურად შესაძლებელია (იხ. განტოლება 78) მაღალსიხშირული მაგნიტობგერითი ამონახსნის მიღებაც. თუმცა, რადგან წარმოდგენილი სამუშაოს მიზანია მაგნიტობგერითი არამდგრადობის კვლევა, ჩვენ არ ვიხილავთ მაღალსიხშირულ მოდას.

სტრათიფიკაციით გამოწვეული დელტა წევრი არ არის დამოკიდებული ტალღურ რიცხვზე. ეს ნიშნავს რომ დისკის არაერთგვაროვნება ერთნაირად მოქმედებს სხვადასხვა მასშტაბის შემფოთებაზე. ამ მხრივ, როგორც ჩანს, სტრათიფიკაციით გამოწვეული მოდიფიკაცია არ ცვლის მაგნიტობრუნვითი არამდგრადობის დისპერსიულ ხასიათს: იგი მხოლოდ ახდენს მისი სიმძლავრის ცვლილებას (მატებას ან კლებას). მეორეს მხრივ, მაგნიტობრუნვითი არამდგრადობა უფრო ეფექტურია დიდმასშტაბოვანი შემფოტებებისათვის (მცირე ტალღური რიცხვი, იხ. განტ. 83). ამ შემთხვევაში, მასშტაბზე დამოუკიდებელი შესწორება გამოიწვევს არამდგრადობის მასშტაბზე დამოკიდებულ მოდიფიკაციას: არამდგრადობის გაძლიერების შემთხვევაში ტურბულენტობის ენერჯიის წყარო კონცენტრირებული იქნება დიდმასშტაბოვან შემოთებებში. ეს ფაქტი, თავის მხრივ სრულ შესაბამისობაშია აკრეციული დისკების ტურბულენტობის სტანდარტულ ალფა მოდელებთან.

საინტერესოა სტრათიფიკაციით გამოწვეული შესწორების დამოკიდებულება მაგნიტური ველზეც. განტოლება (82) ცხადყოფს რომ მოდიფიკაციის სიმძლავრე, მისი ნიშნისაგან

დამოუკიდებლად (სტაბილიზაციისა თუ დესტაბილიზაციის შემთხვევაში) დამოკიდებულია მხოლოდ ალვენის სიჩქარეზე და არ არის დამოკიდებული ბგერის სიჩქარეზე. აკრეციული დისკის ფიზიკური პარამეტრებისათვის ეს ნიშნავს რომ სტრატეგიკაცია ზოგადად უფრო მნიშვნელოვნად მოქმედებს მაგნიტობრუნვით არამდგრადობაზე ძლიერი მაგნიტური ველის შემთხვევაში, ხოლო სუსტი მაგნიტური ველის შემთხვევაში სტრატეგიკაციის ეფექტი შესაძლებელია უგულვებელყოფილი იქნას. ასევე ცდახია რომ სტრატეგიკაციის ზეგავლენა არ არის დამოკიდებული ბგერის სიჩქარესა და შესაბამისად დისკის ტემპერატურაზე. ამ მხრივ თუკი გავითვალისწინებთ რომ პლაზმური ბეტა პარამეტრი წარმოადგენს ბგერის სიჩქარისა და ალვენის სიჩქარეების კვადრატების ფარდობას, შესაძლებელია დავასკვნათ, რომ სტრატეგიკაციის ეფექტი ზოგადად იზრდება პლაზმური ბეტა პარამეტრის შემცირებისას.

სტრატეგიკაციის ეფექტის დამოკიდებულება მხოლოდ მაგნიტური ველის სიმძლავრეზე რაც თავის მხრივ ფრიად საინტერესო ეფექტია. ტურბულენტობისა და ანომალური ტრანსპორტის შემთხვევაში ხდება დისკის მატერიის ქაოსური მოძრაობებით გაცხელება, რაც თავის მხრივ იწვევს თერმოდინამიკური წნევის მატებას. თუკი, როგორც წარმოდგენილ ნაშრომშია ნაჩვენები, ტემპერატურის მატება არ იწვევს მაგნიტობრუნვითი არამდგრადობის შესუსტებას, მაშინ გარემოს გაცხელება და ენერჯის გამოყოფა არ ეწინააღმდეგება ტურბულენტობის წყაროს და შესაძლებელია გრავიტაციული ენერჯის დაუბრკოლებრივ გადაქაჩვა გამოსხივების ენერჯიაში. ასეთი პროცესი ხელს შეუწყობს აკრეციის ინტენსიფიკაციასა და გამოსხივების სიმძლავრის მატებას.

სტრატეგიკაციის ეფექტი სხვადასხვაა რადიალურად სხვადასხვა მანძილებზე ცენტრიდან. (84)-ე განტოლების თანახმად მოდიფიკაციის წევრი მცირდება რადისუს ზრდასთან ერთად. შესაბამისად სტრატეგიკაციის ზეგავლენა არამდგრადობაზე უფრო ძლიერია მცირე რადიუსებზე, მაშინ როდესაც ცენტრიდან დიდ მანძილებზე შესაძლებელია ამ ეფექტის უგულვებელყოფა. მეორეს მხრივ, ანომალური სიბლანტე და ტემპერატურის

მატება მნიშვნელოვანია დისკის ცენტრთან ახლოს, სადაც დაიმზირება მაქსიმალური ტემპერატურა. ამ მხრივაც, წარმოდგენილი მოდელი არ ეწინააღმდეგება რეალურ დაკვირვებებს.

IV. დასკვნა

სამაგისტრო ნაშრომში განვიხილეთ რადიალურად სტრატეფიცირებული დიფერენციალურად მბრუნავი დამაგნიტებული დისკების მაგნიტოჰიდროდინამიკური მდგრადობა ცილინრული სიმეტრიის დინებებში. შევისწავლეთ მაგნიტობრუნვითი არამდგრადობა და მასზე სტრატეფიკაციის ზეგავლენა. ანალიზი ჩატარებულია ლოკალურ მიახლოებაში, როდესაც შეშფოთებების მახასიათებელი რადიალური ზომა გაცილებით აღემატება მანძილს ცენტრამდე, უგულვებელყოფილია დინების სიმრუდე და განხილულია ღერძულად სიმეტრიული შეშფოტებები. ყველა ეს მიახლოება მნიშვნელოვნად ამარტივებს ამოცანის აღწერას და ამავე დროს ინარჩუნებს შესწავლის ობიექტს - მაგნიტობრუნვით არამდგრადობას.

როგორც აღმოჩნდა მაგნიტობრუნვითი არამდგრადობა სტრატეფიცირებულ გარემოში არ შეიძება იყოს მხოლოდ ექსპონენციალური ხასიათის: იგი ატარებს შერეულ ხასიათს. წრფივ არამდგრად მოდას გააჩნია როგორც სიხშირის რეალური ისე წარმოსახვითი ნაწილი, ანუ ამპლიტუდის დროში ექსპონენციალური ზრდის ინკრიმენტი.

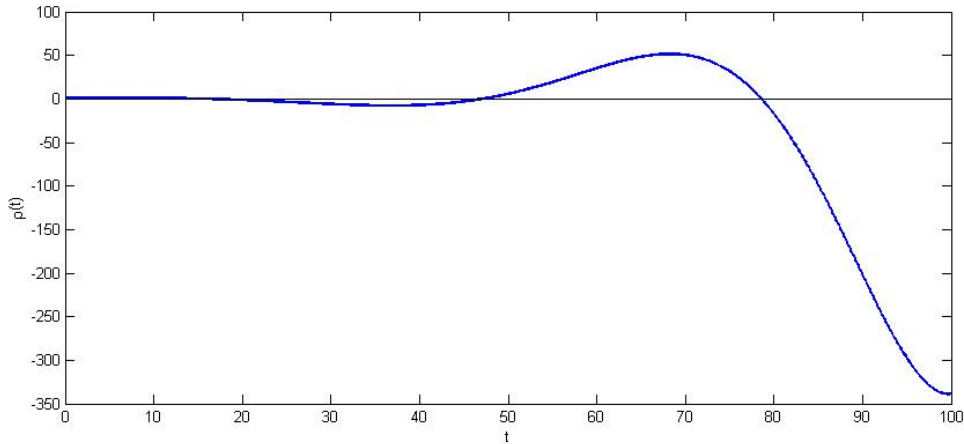
მათემატიკური თვალსაზრისით შეშფოთებები ევოლუციისას იცვლებიან როგორც ჰარმონიული, ისე ხარისხობრივი კანონით. ხარისხობრივი ყოფაქცევა გამოწვეულია ფონის ზემოქმედებით, ხოლო ჰარმონიული პერიოდული ან ექსპონენციალური ევოლუცია დამოკიდებულია თავად წრფივ შეშფოთებების მოდის სპექტრალურ ამონახსნზე. მაგალითისათვის ავიღოთ სიმკვრივის წრფივი შეშფოთება. მისი ევოლუცია შეიძლება განისაზღვროს შემდეგი კანონით:

$$\rho'(\vec{r}, t) \sim \left(\frac{r}{r_0}\right)^{-\delta_\rho} \cos(rk_r + \varphi_r) \cos(zk_z + \varphi_z) \times \cos(\omega t + \varphi_t) \cdot \exp(\sigma t)$$

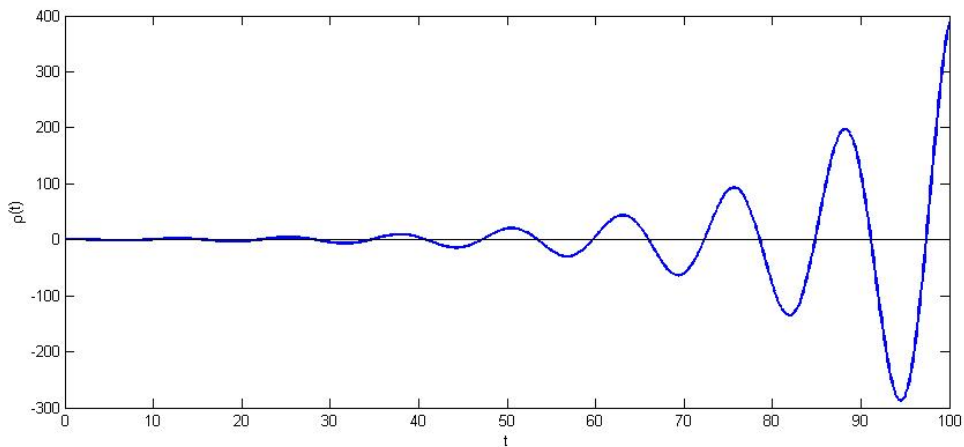
სადაც k_r , k_z , სივრცული ტალღური რიცხვებია, ω , σ - განსაზღვრავენ მოდის პერიოდულ და ექსპონენციალურ ევოლუციას, ხოლო δ_p ფონური ხარისხობრივი ყოფაქცევის განმსაზღვრელი პარამეტრია.

რეალური ფიზიკური შეშფოთებების ევოლუცია რა თქმა უნდა დამოკიდებულია საწყის განაწილებაზე, და შეიძლება დაითვალოს სპექტრალური ამონახსნის საფუძველზე შებრუნებული ფურიე ინტეგრალით. თუმცა, არამდგრადობის შემთხვევაში რეალური ამონახსნის ძიება უსარგებლოა. არამდგრადობა ნიშნავს წრფივ შეშფოთებათა ამპლიტუდის ექსპონენციალურ ზრდას, რამაც თავის მხრივ უნდა გამოიწვიოს შეშფოთების ამპლიტუდის ფონურ სიდიდეებთან მიახლოება, ანუ წრფივი მიახლოების დარღვევა. ამ შემთხვევაში მნიშვნელოვანი ხდება არაწრფივი პროცესები და ამოცანა აღარ ექვემდებარება წრფივ აღწერას. მდგრადობის ანალიზის თვალსაზრისით, თუკი გარკვეული ტიპის ე.წ. უსასრულოდ მცირე შეშფოთებები იწყებენ ზრდას და არაწრფივ ამპლიტუდების მიღევას, მაშინ დინების ლამინარული ხასიათი ირღვევა და შესაძლებელია განვითარდეს ქაოსური მდგომარეობა, ანუ ტურბულენტობა. სწორედ ტურბულენტური პროცესებია ანომალური სიბლანტისა და აკრეციის მამოძრავებელი ძალა. ამ მხრივ საინტერესოა არა კონკრეტულად საწყისი შეშფოთების ევოლუციის ანალიზური ამონახსნი, არამედ ის პარამეტრები, რომლებიც იწვევენ საწყისი შეშფოთების ზრდას. ანუ მნიშვნელოვანია სპექტრალური ამოცანის ამოხსნა. სწორად ამ მიზანს ემსახურება მოცემული ნაშრომიც. ჩვენ ვიპოვეთ პარამეტრების ის მნიშვნელობები, რომლის დროსაც ხდება წრფივი არამდგრადობის გაძლიერება, რამაც ხელი უნდა შეუწყოს აკრეციის პროცესს და გამოიწვიოს ობიექტის მაღალენერგეტიკული გამოსხივება.

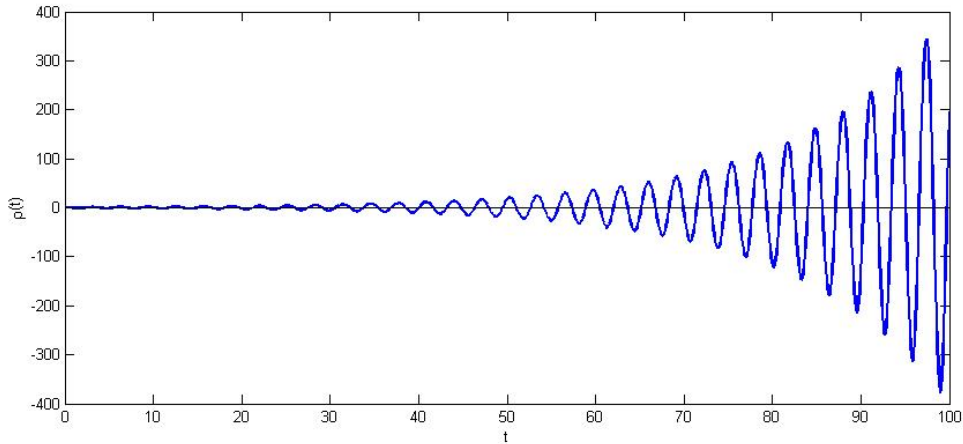
ნაპოვნი ტიპის არამდგრადობაში ერთდროულად დაიმზირება როგორც ექსპონენციალური ზრდა, ისე ოსცილაცია. ასეთი ტიპის არამდგრადობას ხშირად უწოდებენ ე.წ. ტალღურ არამდგრადობას (“overstability”). ტალღური არამდგრადობის დროში ევოლუციის ტიპები სხვადასხვა პარამეტრების შემთხვევაში მოყვანილია ნახაზებზე 3-5.



ნახაზი 3. სიმკვრივის შემფოთების ფურიე ჰარმონიკის ევოლუცია დროში ტალღური არამდგრადობის შემთხვევაში. აღებულია მაგნიტობრუნვითი არამდგრადობის მოდა. ცხადად ჩანს არამდგრადობის ე.წ. შერეული, ტალღური ხასიათი. პერიოდული ოსცილაცია ხასიათდება ექსპონენციალურად ზრდადი ამპლიტუდით. რხევის სიხშირისა და ამპლიტუდის ზრდის ინკრიმენტისათვის აღებულია პირობა: $\omega/\sigma = 0.03$.



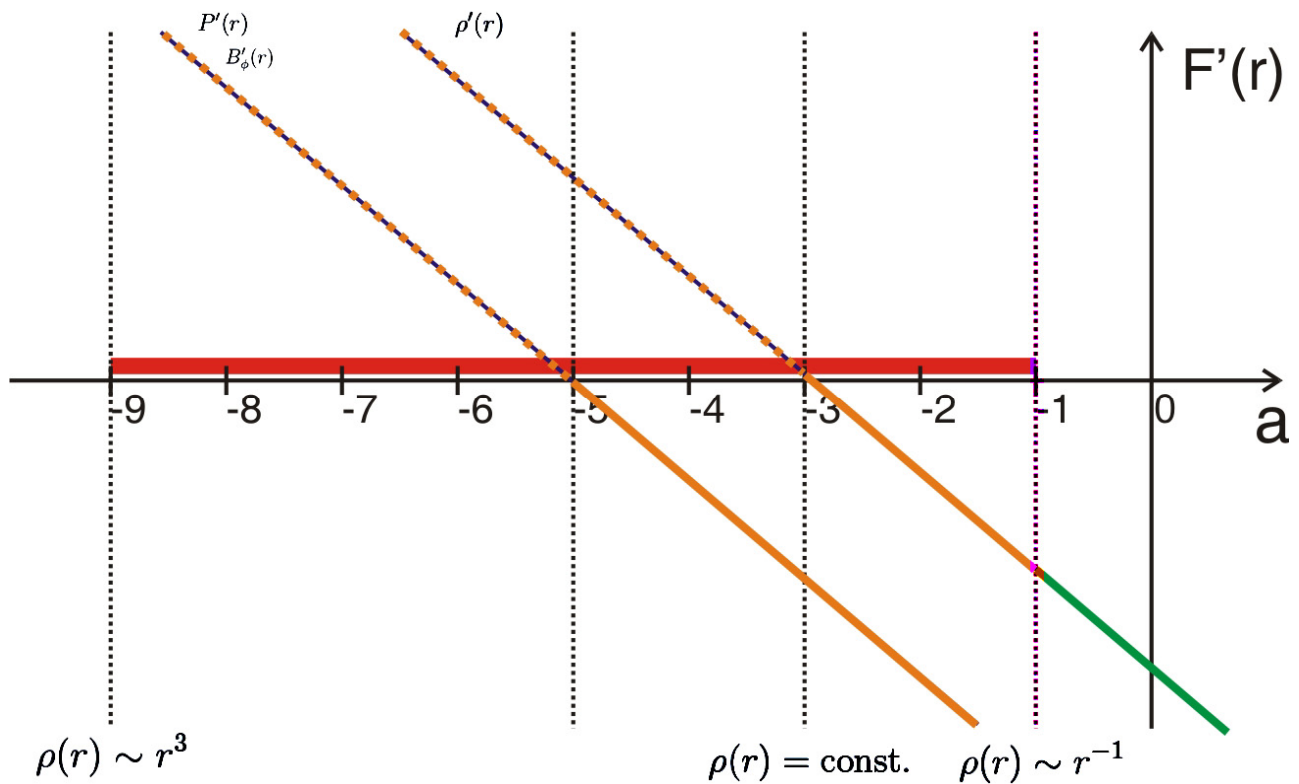
ნახაზი 4. იგივე რაც ნახაზ 3-ზე, იმ განსხვავებით, რომ რხევის სიხშირისა და ამპლიტუდის ზრდის ინკრიმენტისათვის აღებულია პირობა: $\omega/\sigma = 0.12$.



ნახაზი 5. იგივე რაც ნახაზ 3-ზე, იმ განსხვავებით, რომ რხევის სიხშირისა და ამპლიტუდის ზრდის ინკრიმენტისათვის აღებულია პირობა: $\omega/\sigma = 0.6$.

სამაგისტრო ნაშრომში პირველად მიღებულია სტრატეგიკაციის პარამეტრის ზეგავლენა მაგნიტობრუნვითი არამდგრადობის ზრდის ინკრიმენტზე ანალიზურად. როგორც აღმოჩნდა სუსტი და საშუალო სტრატეგიკაცია ახდენს მაგნიტობრუნვითი არამდგრადობის გაძლიერებას, მაშინ როცა ძლიერ სტრატეგიკაცია იწვევს არამდგრადობის სტაბილიზაციას და ინკრიმენტის შემცირებას (იხ. ნახ. 2 და 6).

მაგნიტური ველის სტრატეგიკაციის ზეგავლენა ზოგადად დომინირებს წნევის სტრათიფიკაციის ზეგავლენასთან. მეტიც, მაგნიტობრუნვითი არამდგრადობის შესწორება არ არის დამოკიდებული ბგერის სიჩქასრესა და შესაბამისად ტემპერატურაზე. ამ მხრივ სტრათიფიკაციის ზეგავლენა უნდა მატულობდეს პლაზმური ბეტა პარამეტრის შემცირებისას. ჩატარებული ანალიზი იყენებს ლოკალურ მიახლოებას. ამისდა მიუხედავად, შესაძლებელია ეფექტის სიდიდის შეფასება სხვადასხვა რადიუსზე გლობალურად დისკში. როგორც ჩანს, სტრათიფიკაციით გამოწვეული შეშფოთება ეცემა რადიუსის ზრდასთან ერთად, რაც ნიშნავს რომ მოდიფიკაცია უგულვებელსაყოფელია დისკის პერიფერიაზე. ამის საპირისპიროდ, სტრათიფიკაციით გამოწვეული მოდიფიკაცია შეიძლება დომინირებდეს მცირე რადიუსებზე.



ნახ. 6. რადიალური სტრატეგიკაციის ზეგავლენა მაგნიტობრუნვით არამდგრადობაზე. სტრატეგიკაციის პარამეტრი a გადაზომილია ჰორიზონტალურ ღერძე, ხოლო დისკის წონასწორული კონფიგურაციის პარამეტრების რადიალური წარმოებულები გადაზომილია ვერტიკალურ ღერძზე. წითელი ჰორიზონტალური ზოლით მონიშნულია პარამეტრების არე სადაც ხდება მაგნიტობრუნვითი არამდგრადობის გაძიერება. ფიზიკური პარამეტრების წარმოებულების დადებითი ნიშანი შეესაბამება ნაკლებად განხორციელებად დისკების შემთხვევას, როდესაც თერმოდინამიკური პარამეტრები (წნევა, სიმკვრივე) და მაგნიტური ველი იზრდება რადიუსის ზრდასთან ერთად. ვერტიკალური წყვეტილი ხაზი $a=-3$ მნიშვნელობაზე შეესაბამება რადიალურად ერთგვაროვანი სიმკვრივის დისკის მოდელს. როგორც ჩანს, დისკები რომლის სტრატეგიკაცია უფრო სუსტია ვიდრე რადიუსის უკუპროპორციული კანონი განიცდიან კლასიკურ მაგნიტობრუნვით არამდგრადობაზე უფრო ძლიერ დესტაბილიზაციას (გრაფიკის სტაფილოსფერი უბანი). ამის საპირისპირო შემთხვევაა ძლიერად სტრატეგიცირებული დისკები, როდესაც სტრატეგიკაციის ეფექტი მასტაბილურებელია და არამდგრადობის ინკრიმენტი იწყებს კლებას (გრაფიკის მწვანე უბანი).

სამაგისტრო ნაშრომში მიღებული შედეგი მნიშვნელოვანია იმ მხრივაც რომ თერმოდინამიკური პარამეტრები შეიძლება პირდაპირ დაკვირვებადი სიდიდეები იყოს ზოგიერთი აკრეციული დისკებისათვის (მაგ. ზედაპირული სიმკვრივე). არამდგრადობის სიმძლავრის ცოდნა კონკრეტულ ასტროფიზიკურ ობიექტში, უფრო სწორედ კი კლასიკური მაგნიტობრუნვითი არამდგრადობის სიმძლავრის მოდიფიკაცია რადიალური არაერთგვაროვნების გამო საშუალებას მოგვცემს შევადგინოთ რეალური ობიექტის უფრო კორექტული მოდელი და გავითვალთ ამ მოდელზე დაფუძნებული დანარჩენი ფიზიკური სიდიდეები უფრო დიდი სანდოობით. ამ მხრივ მიღებულ შედეგებს გააჩნიათ არა მხოლოდ პირდაპირი თეორიული ინტერესი, არამედ პოტენციურად მნიშვნელოვანი დაკვირვებითი ასტროფიზიკური გამოყენებაც.

ლიტერატურა:

- Balbus, S. A., & Hawley, J. F. *Astrophys. J.*, **400**, 610 (1992)
- Blokland, J. W. S., Van der Swaluw, E., Keppens, R., & Goedbloed, J. P., *Astron. Astrophys.*, **444**, 337 (2005):1
- Van der Swaluw, ., Blokland, J. W. S. and Keppens, R. *Astron. Astrophys.*, **444**, 347 (2005):2
- Shakura, N. I., & Sunyaev, R. A., *Astron. Astrophys.*, **24**, 337 (1973)
- Spruit, H. C., Matsuda, T., Inoue, M., & Sawada, K. 1987, *MNRAS*, **229**, 517
- Tevzadze, A. G., Chagelishvili, G. D., Bodo, G., Rossi, P., *Mon. Notice Royal Astron. Soc.*, **401**, 901 (2010)
- Velikhov, E. P. *Sov. Phys. JETP*, **36**, 995 (1959)